Braveheart AOT BRAVEHEART

0200HO12422 BRAVE x LEGACY x JARED

GENOMAX CALVING EASE A2A2

SIEMERS BRAVE
AOT LEGACY HAZE GP-80-2YR-USA
PINE-TREE CW LEGACY
AOT JARED HASKEL VG-85-2YR-USA
CLEAR-ECHO JED JARED 745
COOKIECUTTER DTA HABITAN EX-90-5YR-USA DOM

COOKIECUTTER DTA HABITAN
THIRD DAM

COOKIECUTTER MOM HALO
FIFTH DAM

GTPI 2823

TD TR TL TY MWT TV 99%-I HH1F HH2F HH3F HH4F HH5C HH6F HCDF HMWF

Nom #: HO840M3224239312	aAa: 243615	DMS: 135,561
Né le: 04/09/2021	Caséine kappa: AB	Caséine bêta: A2A2

PRODUCTION

G Troup G Filles 82% Fiab CDCB-G / 04-25

Lait lbs	Gras lbs	Gras %	Protéine lbs	Protéine %
471	**17**	**-0.01**	**21**	**+0.02**
NM$ **479**	CM$ **491**	FM$ **451**	GM$ **495**	DWP$ **307**
Efficience de l'alimentation **118**	IAR **-14**	Alimentation économisée **394**	Efficience du méthane **96**	

SANTÉ ET REPRODUCTION

Immunité 101

Vie productive	**3.6**	Immunité des veaux	**98**
SCS	**2.85**	Taux de conception des vaches	**1.5**
Taux gest. Filles	**0.6**	Taux de conception des génisses	**0.7**
Vivabilité	**0.3**	Facilité de vêlage	**1.7%** 90% Fiab
Livabilité des génisses	**0.6**	Facilité vêl. Filles	**2.4%** 71% Fiab
Indice de fertilité	**1.2**	Mortinatalité	**5.2%**
		Mortinatalité des filles	**5.6%**

CONFORMATION

G Troup G Filles 81% Fiab HAUSA-G / 04-25

PTAT	**0.14**	Composite corps	**-2.33**
PisC	**1.46**	Composite laitier	**-1.65**
P&MC	**-1.09**		

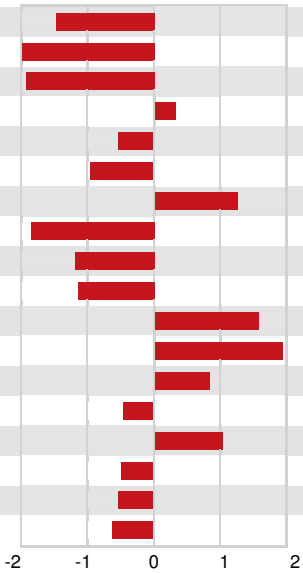

Stature	Petite	**-1.47**
Force	Faible	**-2.10**
Profondeur de corps	Peu profond	**-1.92**
Car. Laitier	Côtes ouvertes	**+0.35**
Angle de la croupe	Isch. hauts	**-0.55**
Largeur de la croupe	Étroite	**-0.97**
Mbres arr. Vue côté	Courbés	**+1.26**
Mbres arr. Vue arr.	Jarrets serrés	**-1.86**
Angle du pied	Peu profond	**-1.17**
Indice pieds & mbres	Indésirable	**-1.12**
Attache avant	Forte	**+1.61**
Haut. Arrière-pis	Haute	**+1.96**
Larg. Arrière-pis	Large	**+0.88**
Suspension médiane	Faible	**-0.48**
Profondeur du pis	Haut	**+1.03**
Pos. trayons avant	Éloignés Ecartés	**-0.49**
Longueur des trayons	Courts	**-0.55**
Position trayons arrière	Écartés	**-0.64**